

2016.05.19 梳子型腰折れにしろよりに計算する場合 頁4  $\beta(\text{beta}) = 1 = \frac{E_2 I_2}{E_1 I_1}$  とするよりに はとめ材厚を 20mm とする

8x5 G:/PAT-LEG-Seihin/CALC-TEX/AU5-1-5.TEX ファイルを2つ (他は AU5-2-5.TEX) に分けます。2016.05.17  
 8x5 G:/PAT-LEG-Seihin/CALC-TEX/AU5-1-1.TEX ファイルを2つ (他は AU5-2-1.TEX) に分けます。2015.03.31

中央部 (はとめ部分) を、梁にしました。はとめ端の曲げ応力が計算不可だったからです (2014.11.06)。  
 ファイルが大きくなり過ぎ、Wintex + WZ でファイルを開くことができなくなりました (2014.11.06)。

図面は、WZ で文章作成、WZ Ctrl +10、コンパイル・プレビュー (P) で作成・確認します。

TeX 文 (この文章) は、WZ で文章作成、スタート | すべてのプログラム | Tex for Windows | WinTeX で  
 この文章を (その都度) 開き、プロジェクト | TeX をかけてプレビュー です。← 時間が掛りますが

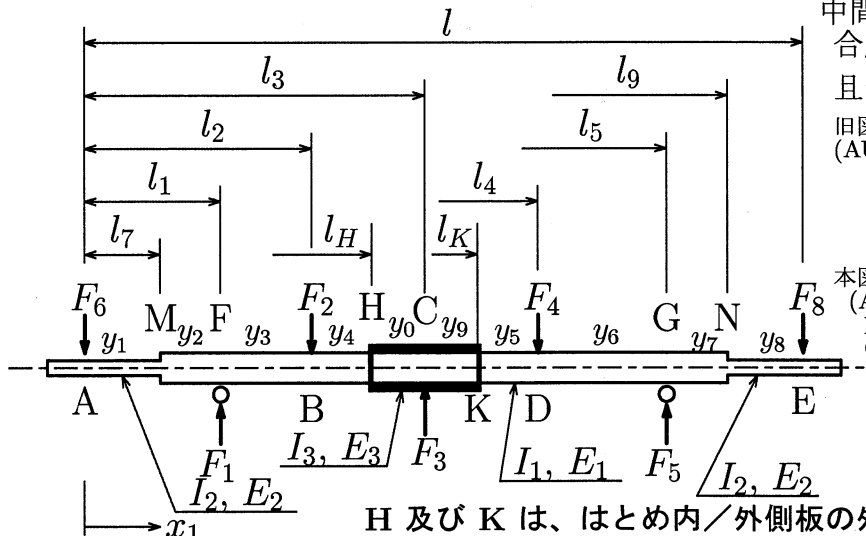
TeX 文 (この文章) だけの、変更・保存は、再度 ファイル | 開く をしなくても、  
 プロジェクト | TeX をかけてプレビュー で、変更は反映されます。

図面だけを変更した場合は

TeX 文 (この文章) も、変更・保存して、再度 ファイル | 開く をしないと、  
 図面の変更は取り込めません。

図面に、定義項目 例、 $\forall \text{def} \forall \text{filename}$  が存在しないと 「righttag」と表示されます。

### 1 補装具が曲げモーメントをうける場合 (その1/2)



中間部梁を合成梁とする場合は  
 合成梁の下部を硬質材とし、  
 且つ基準材とします。

旧図 (2015.03.29) ← 旧々図  
 (AU4-FIG2) ← (AU3-FIG2)

-F6 ← F1

-F1 ← F6, l1 ← l6

-F5 ← F8, l5 ← l8

-F8 ← F5

本図 (2015.03.31) ← 旧図

(AU5-FIG2) ← (AU4-FIG2)

F を M のセンター寄りに変更

G を N のセンター寄りに変更

H 及び K は、はとめ内/外側板の外周位置です。

左 上

図 1: 梁の荷重状態

右 下部 (下板 20mm)

本計算でのモーメントの正負は、一般的なサギング状態を正としています。

従って、吉識・金沢とは逆です。

点 A 回りのモーメントの釣り合い 他

$$0 = -F_1 l_1 + F_2 l_2 - F_3 l_3 + F_4 l_4 - F_5 l_5 + F_8 l \quad (1)$$

$$0 = F_6 - F_1 + F_2 - F_3 + F_4 - F_5 + F_8 \quad (2)$$

A-M 間 (単一梁)

A-M 間 (単一梁) は、実際は円筒の一部を構成していて、これを薄い単板とすると、剛性が極端に小さくなって、実情に沿わない。

そこで、A-M 間 (単一梁) の剛性を調整するため、係数  $\gamma \geq 1$  を導入する。

$$E_2 \gamma I_2 \frac{d^2 y_1}{dx^2} = M = -F_6 x \quad (3)$$

$$E_2 \gamma I_2 \frac{dy_1}{dx} = -F_6 \frac{x^2}{2} + C_{11} \quad (4)$$

$$E_2 \gamma I_2 y_1 = -F_6 \frac{x^3}{6} + C_{11} x + C_{12} \quad (5)$$

M-F 間 (合成梁) M 点に外力は無い。⇒  $y_1$  と  $y_2$  は、 $E_1, I_1$  を除き類似の式になります。

$$E_1 I_1 \frac{d^2 y_2}{dx^2} = M = -F_6 x \quad (6)$$

$$E_1 I_1 \frac{dy_2}{dx} = -F_6 \frac{x^2}{2} + C_{13} \quad (7)$$

$$E_1 I_1 y_2 = -F_6 \frac{x^3}{6} + C_{13} x + C_{14} \quad (8)$$



以下、現在 (2016.05.13) トレースできず、不明です。

ここに、合成梁の算式については、以下、小文字で表される算式は使用しない。

理由： $E_{equiv}$  を以降使用していない。

G:/PAT-LEG-Seihin/CALC-TEX/GOUS-3-1.TEX 2014.08.01

(プリント済)によれば、

「以下の考え方による梁断面に掛る曲げ応力の解析 (従来方式) には、

新たな解析 (吉識・金澤) の「等価曲げ剛性方式」と、一部一致しない場合があります。」

とあります。

合成梁 (1/2) 上部 (硬質部材・基準材)、 $A_{11}, I_{11}$

ここに

$$n = \frac{E_{12}}{E_{11}} \quad (6)$$

$$E_{equiv} = \frac{(A_{11} * E_{11} + A_{12} * E_{12})}{(A_{11} + A_{12})} \quad (7)$$

$$I_c = I_{11} + I_{12} + I_h \quad (8)$$

$$= A_{11} \frac{h_{11}^2}{12} + n A_{12} \frac{h_{12}^2}{12} + \frac{A_{11} * n A_{12}}{A_{11} + n A_{12}} * \left( \frac{h_{11} + h_{12}}{2} \right)^2 \quad (9)$$

$$\sigma_{max} = \frac{M_{max}}{I_c} \left( \frac{h_{11}}{2} + \frac{2 * I_h}{(h_{11} + h_{12}) * b_1 * h_{11}} \right) @M \quad (10)$$

合成梁 (2/2) 下部、 $A_{12}, I_{12}$

$$\sigma_{max} = \frac{M_{max}}{I_c} \left( \frac{h_{12}}{2} + \frac{2 * I_h}{(h_{11} + h_{12}) * b_2 * h_{12}} \right) @M \quad (11)$$

以下の算式を使用する。

G:/PAT-LEG-Seihin/CALC-TEX/GOUS-3-5.TEX 2016.05.16 (プリント済)

図2に示す矩形断面の2種材料からなる合成梁について計算して試ます。

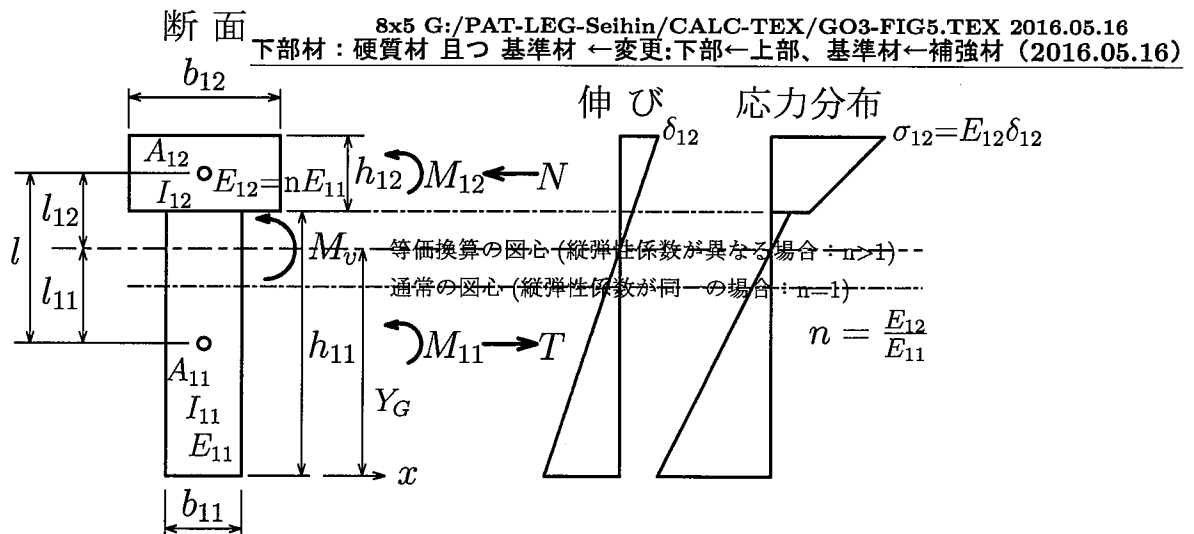


図 2: 梁材の断面

合成梁の曲げ応力部分を取り出すと下記の通りです。

$$\sigma_{ij} = M * \frac{E_{ij} * \eta_{ij}}{\sum E_{ij} I_{ij}} \quad (12)$$

$$\sigma_{11} = M * \frac{E_{11} * \eta_{11}}{\sum E_{ij} I_{ij}} \quad (13)$$

ここで、今までとは逆に、”サギング（上に凹）を”+”とします。

以降の AU5-2-5 に合わせるためです (2016.05.17)。

曲げモーメント  $M$  は、”サギング（上に凹）が +”、撓みは”下方が -”です。

$-M \leftarrow M$ 、 $-(l_{11} + h_{11}/2) \leftarrow (l_{11} + h_{11}/2)$  として

合成梁 (1/2) 下部（硬質部材・基準材）、 $A_{11}$ ,  $I_{11}$

$$\text{下部（基準材）の下辺応力：} (\sigma_{11})_{max} = M * \frac{E_{11} * (l_{11} + h_{11}/2)}{\sum E_{ij} I_{ij}}$$

全断面の中立軸回りの 第  $ij$  番目材料の断面 2 次モーメント  $I_{ij}$  を使用すると

$$(\sigma_{11})_{max} = M * \frac{E_{11} * (l_{11} + h_{11}/2)}{\sum E_{ij} I_{ij}} = M * \frac{E_{11} * (l_{11} + h_{11}/2)}{E_{11} * (I_{11} + n * I_{12})} \quad (14)$$

各構成素材  $ij$  ごとの自己の中立軸に関する断面 2 次モーメント  $I_{11}'$  および  $I_{12}'$  を使用すると

$$(\sigma_{11})_{max} = M * \frac{E_{11} * (l_{11} + h_{11}/2)}{\sum E_{ij} I_{ij}} = M * \frac{E_{11} * (l_{11} + h_{11}/2)}{E_{11} * (I_{11}' + n * I_{12}' + I_h)} \quad (15)$$

$$\sum E_{ij} I_{ij} = \left[ E_{11} \int_{A_{11}} \eta_{11}^2 dA_{11} + E_{12} \int_{A_{12}} \eta_{12}^2 dA_{12} \right] \quad (16)$$

$$= E_{11} \left[ A_{11} \frac{h_{11}^2}{12} + A_{11} l_{11}^2 + n * \left( A_{12} \frac{h_{12}^2}{12} + A_{12} l_{12}^2 \right) \right] \quad (17)$$

$$= E_{11} \left[ I_{11} + n * I_{12} \right]$$

$$= E_{11} \left[ A_{11} \frac{h_{11}^2}{12} + n * A_{12} \frac{h_{12}^2}{12} + A_{11} l_{11}^2 + n * A_{12} l_{12}^2 \right]$$

$$= E_{11} \left[ A_{11} \frac{h_{11}^2}{12} + n * A_{12} \frac{h_{12}^2}{12} + l^2 \left( \frac{A_{11} * n A_{12}}{A_{11} + n A_{12}} \right) \right]$$

$$= E_{11} \left[ I_{11}' + n * I_{12}' + I_h \right]$$

合成梁 (2/2) 上部（軟質部材・補助材）、

上部（補助材）の上辺応力：

全断面の中立軸回りの 第  $ij$  番

$$(\sigma_{12})_{max} = -M * \frac{E_{12} * (l_{12} + h_{12})}{\sum E_{ij} I_{ij}}$$

各構成素材  $ij$  ごとの自己の中立軸に、  
を使用すると

$$(\sigma_{12})_{max} = -M * \frac{E_{12} * (l_{12} + h_{12}/2)}{\sum E_{ij} I_{ij}}$$

$$\begin{aligned}
E_1 I_1 \left( \frac{dy_6}{dx} \right)_{x=l_5} &= (-F_6 + F_1 - F_2 + F_3 - F_4) \frac{l_5^2}{2} + (-F_1 l_1 + F_2 l_2 - F_3 l_3 + F_4 l_4) l_5 + C_{23} \\
&= F_{64} * \frac{l_5^2}{2} + Fl_{14} * l_5 + C_{23}
\end{aligned} \tag{145}$$

G点での傾斜 N点寄り  $E_1, I_1, y_7$

$$\begin{aligned}
E_1 I_1 \frac{dy_7}{dx} &= (-F_6 + F_1 - F_2 + F_3 - F_4 + F_5) \frac{x^2}{2} + (-F_1 l_1 + F_2 l_2 - F_3 l_3 + F_4 l_4 - F_5 l_5) x + C_{25} \\
&= F_{65} * \frac{x^2}{2} + Fl_{15} * x + C_{25}
\end{aligned} \tag{146}$$

$x=l_5$ で、傾斜：すなわち  $\left( \frac{dy_7}{dx} \right)_{x=l_5}$  から、

$$\begin{aligned}
E_1 I_1 \left( \frac{dy_7}{dx} \right)_{x=l_5} &= (-F_6 + F_1 - F_2 + F_3 - F_4 + F_5) \frac{l_5^2}{2} + (-F_1 l_1 + F_2 l_2 - F_3 l_3 + F_4 l_4 - F_5 l_5) l_5 + C_{25} \\
&= F_{65} * \frac{l_5^2}{2} + Fl_{15} * l_5 + C_{25}
\end{aligned} \tag{147}$$

N点での傾斜 G点寄り  $E_1, I_1, y_7$

$$\begin{aligned}
E_1 I_1 \frac{dy_7}{dx} &= (-F_6 + F_1 - F_2 + F_3 - F_4 + F_5) \frac{x^2}{2} + (-F_1 l_1 + F_2 l_2 - F_3 l_3 + F_4 l_4 - F_5 l_5) x + C_{25} \\
&= F_{65} * \frac{x^2}{2} + Fl_{15} * x + C_{25}
\end{aligned} \tag{148}$$

$x=l_9$ で、傾斜：すなわち  $\left( \frac{dy_7}{dx} \right)_{x=l_9}$  から、

$$\begin{aligned}
E_1 I_1 \left( \frac{dy_7}{dx} \right)_{x=l_9} &= (-F_6 + F_1 - F_2 + F_3 - F_4 + F_5) \frac{l_9^2}{2} + (-F_1 l_1 + F_2 l_2 - F_3 l_3 + F_4 l_4 - F_5 l_5) l_9 + C_{25} \\
&= F_{65} * \frac{l_9^2}{2} + Fl_{15} * l_9 + C_{25}
\end{aligned} \tag{149}$$

N点での傾斜 E点寄り  $E_2, \gamma * I_2, y_8$

$$\begin{aligned}
E_2 * \gamma * I_2 \frac{dy_8}{dx} &= (-F_6 + F_1 - F_2 + F_3 - F_4 + F_5) \frac{x^2}{2} + (-F_1 l_1 + F_2 l_2 - F_3 l_3 + F_4 l_4 - F_5 l_5) x + C_{27} \\
&= F_{65} * \frac{x^2}{2} + Fl_{15} * x + C_{27}
\end{aligned} \tag{150}$$

$x=l_9$ で、傾斜：すなわち  $\left( \frac{dy_8}{dx} \right)_{x=l_9}$  から、

$$\begin{aligned}
E_2 * \gamma * I_2 \left( \frac{dy_8}{dx} \right)_{x=l_9} &= (-F_6 + F_1 - F_2 + F_3 - F_4 + F_5) \frac{l_9^2}{2} + (-F_1 l_1 + F_2 l_2 - F_3 l_3 + F_4 l_4 - F_5 l_5) l_9 + C_{27} \\
&= F_{65} * \frac{l_9^2}{2} + Fl_{15} * l_9 + C_{27}
\end{aligned} \tag{151}$$

E点での傾斜 N点寄り  $E_2, \gamma * I_2, y_8$

$$\begin{aligned}
E_2 * \gamma * I_2 \frac{dy_8}{dx} &= (-F_6 + F_1 - F_2 + F_3 - F_4 + F_5) \frac{x^2}{2} + (-F_1 l_1 + F_2 l_2 - F_3 l_3 + F_4 l_4 - F_5 l_5) x + C_{27} \\
&= F_{65} * \frac{x^2}{2} + Fl_{15} * x + C_{27}
\end{aligned} \tag{152}$$

$x=l$ で、傾斜：すなわち  $\left(\frac{dy_8}{dx}\right)_{x=l}$  から、

$$\begin{aligned}
 E_2 * \gamma * I_2 \left(\frac{dy_8}{dx}\right)_{x=l} &= (-F_6 + F_1 - F_2 + F_3 - F_4 + F_5) \frac{l^2}{2} + (-F_1 l_1 + F_2 l_2 - F_3 l_3 + F_4 l_4 - F_5 l_5) l + C_{27} \\
 &= F_{65} * \frac{l^2}{2} + F l_{15} * l + C_{27}
 \end{aligned}
 \tag{153}$$